

Karol WOLSKI

## ANALIZA DZIAŁANIA WYŁĄCZNIKA OCHRONNEGO RÓŻNICOWOPRĄDOWEGO W SIECI TN

**Streszczenie.** W artykule przedstawiono możliwości skuteczniejszego wykorzystania wyłącznika ochronnego różnicowoprądowego w czasie zakłóceniowej pracy instalacji elektrycznej zasilanej z sieci TN, przez wprowadzenie w obwód przewodu ochronnego rezystancji ograniczającej prąd jednofazowego zwarcia.

## ANALYSIS OF ANTI-SHOCK RESIDUAL CURRENT CIRCUIT BREAKER OPERATION IN TN NETWORK

**Summary.** Possibilities of more effective use of anti-shock circuit breaker during fault state operation of electric installation supplied from TN network, by insertion of resistor limiting single-phase fault current into protective conductor circuit, have been presented in the paper.

### 1. WPROWADZENIE

Wyłącznik ochronny różnicowoprądowy działa przy prądzie różnicowym  $I_{\Delta n}$ , wyrażanym w miliamperach, natomiast w obwodach instalacyjnych, zasilanych z sieci TN, przy uszkodzeniu fazowej izolacji roboczej płynie prąd o wartości wyrażanej w setkach amperów. Prąd ten stwarza zagrożenie dla obwodu w procesie jego przerywania i dla środowiska, w którym punktowo, w miejscach łączeniowych instalacji, może wystąpić niebezpiecznie wysoka temperatura.

W artykule przedstawiono możliwość zrealizowania obwodu jednofazowego zwarcia, w którym prąd różnicowy  $I_{\Delta}$  będzie mniejszy od 1 A przy zachowaniu skutecznego działania ochronnego wyłącznika różnicowoprądowego.

## 2. ANALIZA DZIAŁANIA ZABEZPIECZEŃ ZWARCIOWYCH W INSTALACJACH ELEKTRYCZNYCH ZASILANYCH Z SIECI TN

### 2.1. Warunki działania zabezpieczeń zwarciovych w instalacjach elektrycznych zasilanych z sieci TN

Zabezpieczenia zwarciove stosowane w instalacjach elektrycznych to:

- a) w instalacjach starych - bezpieczniki topikowe,
- b) w instalacjach nowych - wyłączniki instalacyjne.

Aby zabezpieczenie zwarciove zadziało skutecznie, prąd jednofazowego zwarcia  $I_{k1}$  musi spełniać zależność:

$$I_{k1} \geq I_a, \quad (1)$$

gdzie  $I_a$  – najmniejszy, obliczeniowy prąd zadziałania zabezpieczenia w określonym czasie:

$$I_a = k I_{n.zabezpieczenia}, \quad (2)$$

gdzie:  $k$  - krotność prądu znamionowego powodująca zadziałanie zabezpieczenia; dla bezpiecznika, czyli zabezpieczenia zwarciovego zależnego, w instalacjach istniejących współczynnik  $k$  był określany dla czasu wyłączenia  $t_k = 5s$ , natomiast dla wyłączników instalacyjnych - zabezpieczenia zwarciovego niezależnego - współczynnik  $k$  określa krotność prądu znamionowego zadziałania w czasie  $t_k \leq 0,1s$ .

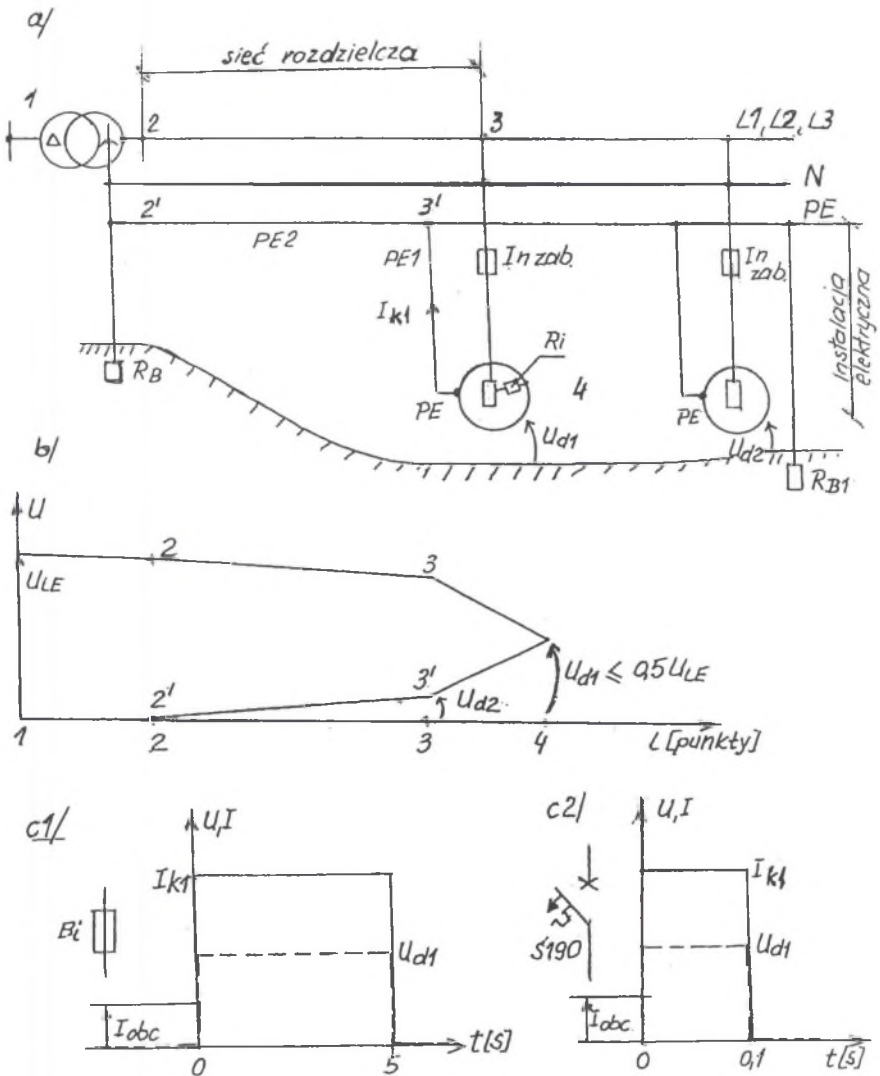
### 2.2. Działanie zabezpieczenia zwarciovego w instalacjach elektrycznych zasilanych z sieci TN

Analizę działania zabezpieczeń zwarciovych zobrazowano na schemacie instalacji oraz na wykresach liniowych i czasowych napięcia dotyku, które przedstawiono na rys. 1.

Zabezpieczenia zwarciove działają, gdy rezystancja izolacji chronionego odbiornika równa się zero ( $R_f = 0$ ), wówczas w obwodzie jednofazowego zwarcia płynie prąd zwarcia  $I_{k1}$ , wywołując spadki napięć, które przedstawiono na rys. 1b. Rozkład wartości napięcia w poszczególnych punktach obwodu wynika z jednostkowej rezystancji przewodów fazowych i ochronnych. Dla uproszczenia można przyjąć, że występują dwa przekroje przewodów: jeden w sieci rozdzielczej i drugi w instalacji elektrycznej. Punkt 3 na rys. 1a to miejsce (złącze) połączenia instalacji z siecią rozdzielczą.

Prąd jednofazowego zwarcia  $I_{k1}$  – wyrażany w setkach amperów i niebezpieczne napięcie dotyku na uszkodzonym odbiorniku równe połowie napięcia fazowego - będą występować:

- w czasie do 5s w instalacjach starych, wyposażonych w bezpieczniki topikowe (rys. 1c1),
- w czasie do 0,1s w instalacjach nowych, wyposażonych w wyłączniki instalacyjne (rys. 1c2).



Rys. 1. Działanie zabezpieczenia zwarciovego w sieci TN: a) schemat jednoliniowy obwodu instalacyjnego w czasie zwarcia, b) rozkład napięcia wzdłuż obwodu przy zwarciu jednofazowym, c) wykresy czasowe prądu zwarcia i napięcia dotyku dla instalacji starej i nowej

PE1 - przewód ochronny instalacji elektrycznej; PE2 - przewód ochronny sieci rozdzielczej

Fig. 1. Operation of short circuit protection in TN network: a) single line diagram of a circuit during fault state, b) distribution of voltage along the circuit during single-phase fault, c) time diagrams of the fault current and touch voltage for the old and new installation  
PE1 - protective conductor of installation; PE2 - protective conductor of distribution network

Napięcie dotyku na pozostałych, nieuszkodzonych odbiornikach zasilanych z tej samej linii wyprowadzonej ze stacji transformatorowej będzie proporcjonalnie mniejsze, które można obliczyć z poniższego wyrażenia:

$$U_{d2} = U_{d1} \frac{R_{PE2}}{R_{PE1} + R_{PE2}}, \quad (3)$$

gdzie:

$R_{PE1}$  - rezystancja przewodu ochronnego instalacji elektrycznej,

$R_{PE2}$  - rezystancja przewodu ochronnego sieci rozdzielczej.

Napięcie dotyku  $U_{d2}$  wystąpi na wszystkich nieuszkodzonych odbiornikach I klasy ochronności, zasilanych z tej samej linii rozdzielczej.

### 3. ANALIZA DZIAŁANIA WYŁĄCZNIKA OCHRONNEGO RÓŻNICOWO-PRĄDOWEGO W INSTALACJI ELEKTRYCZNEJ ZASILANEJ Z SIECI TN

#### 3.1. Warunki działania wyłącznika ochronnego różnicowoprądowego w instalacji elektrycznej zasilanej z sieci TN

Wyłącznik ochronny różnicowoprądowy działa przy prądzie wyłączającym  $I_{\Delta}$ , zawierającym się w granicach:

$$0,5I_{\Delta n} < I_{\Delta} \leq I_{\Delta n}, \quad (4)$$

gdzie:

$I_{\Delta n}$  - znamionowy prąd zadziałania wyłącznika ochronnego,

$I_{\Delta}$  - prąd wyłączający wyłącznika ochronnego.

Rzeczywista wartość prądu wyłączającego  $I_{\Delta}$  zależy od szybkości obniżania się rezystancji izolacji chronionej instalacji (rys. 2). Mogą w tym przypadku wystąpić dwie okoliczności:

a) następuje powolna zmiana rezystancji izolacji  $R_i$ , to znaczy, gdy czas obniżenia się rezystancji izolacji  $\Delta t$  od wartości  $R_i$  zadziałania do wartości  $R_i = 0\Omega$  jest większy od czasu  $t_{min}$  wyłącznika różnicowoprądowego (rys. 3), czyli gdy

$$\Delta t = t_3 - t_2 > t_{min}, \quad (5)$$

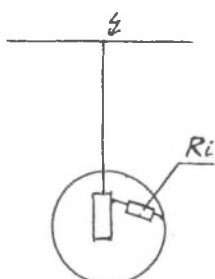
to

$$I_{\Delta} \leq I_{\Delta n}, \quad (6)$$

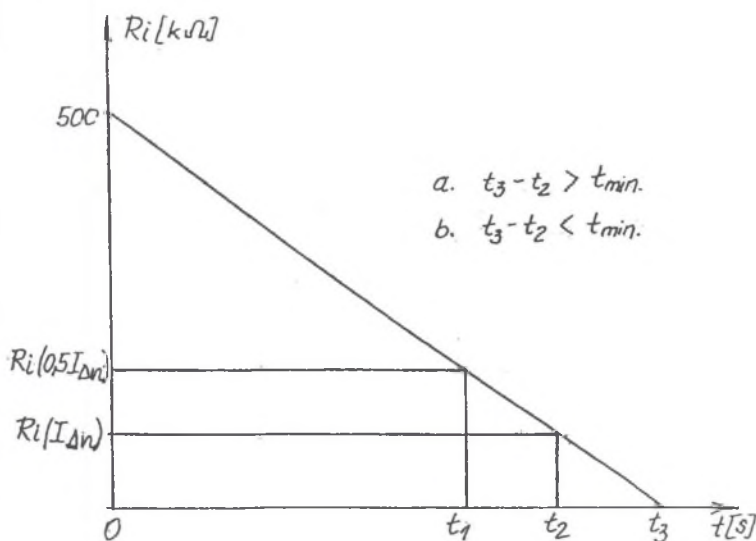
b) następuje szybka zmiana rezystancji izolacji  $R_i$ , to znaczy, gdy czas obniżania się rezystancji  $\Delta t$  od wartości  $R_i$  zadziałania do  $R_i = 0\Omega$  jest mniejszy od czasu  $t_{min}$  wyłącznika różnicowoprądowego (rys. 4), czyli gdy

$$\Delta t = t_3 - t_2 < t_{min}, \quad (7)$$

a/



b/

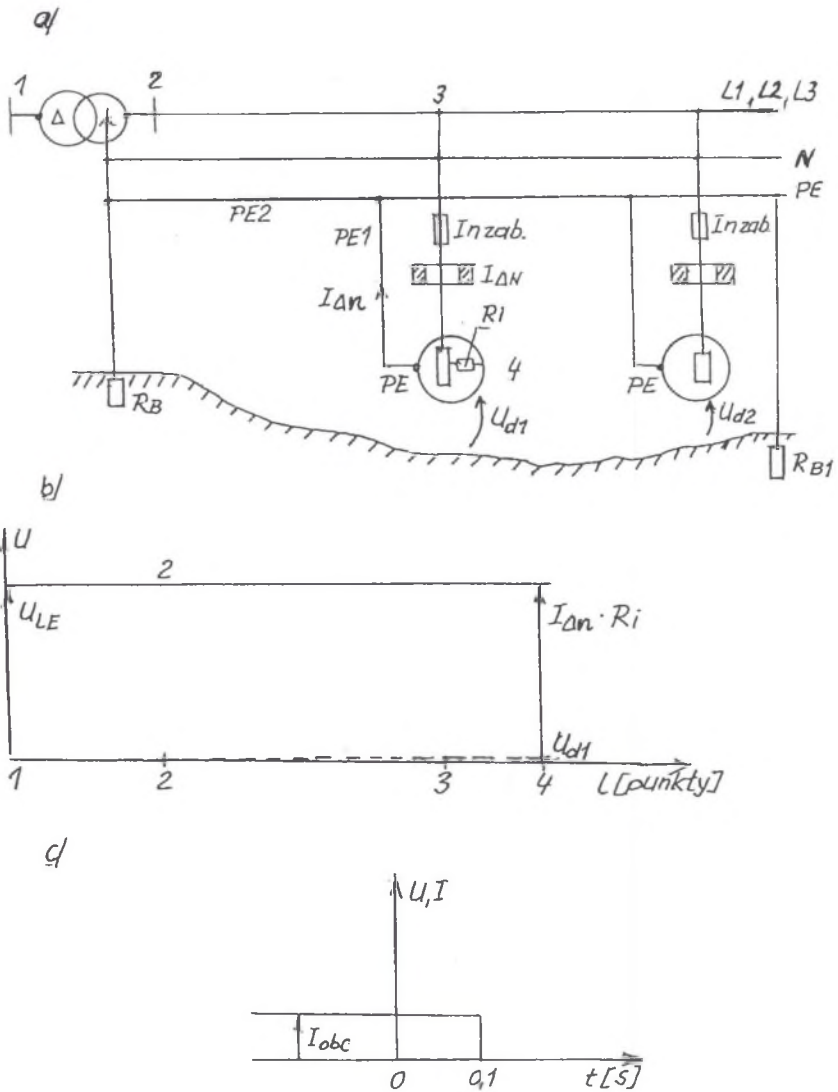


Rys.2. Zmiana rezystancji izolacji fazowej odbiornika: a) szkic odbiornika, b) zmiana rezystancji izolacji fazowej

$R_{i(I_{\Delta n})}$  – rezystancja izolacji fazowej, gdy prąd upływu jest równy  $I_{\Delta n}$ ;  $R_{i(0,5I_{\Delta n})}$  – rezystancja izolacji fazowej, gdy prąd upływu jest równy  $0,5I_{\Delta n}$ ;  $t_{min}$  – czas własny wyłącznika ochronnego różnicowoprądowego

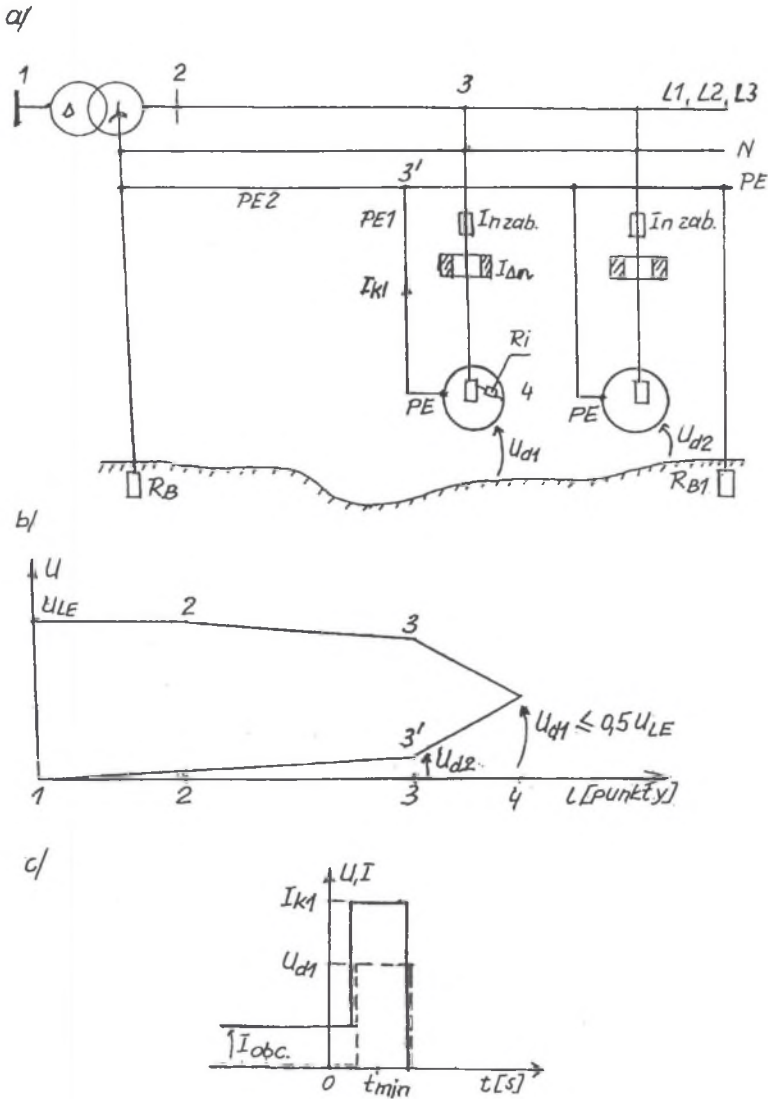
Fig. 2. Variation of phase insulation resistance in a receiver

$R_{i(I_{\Delta n})}$  – phase insulation resistance when the leakage current is equal  $I_{\Delta n}$ ;  $R_{i(0,5I_{\Delta n})}$  – phase insulation resistance when the leakage current is equal  $0,5I_{\Delta n}$ ;  $t_{min}$  - anti-shock circuit breaker operating time



Rys. 3. Działanie wyłącznika ochronnego różnicowoprądowego w sieci TN przy powolnym obniżaniu się rezystancji izolacji chronionej instalacji, czyli gdy  $\Delta t = t_3 - t_2 > t_{min}$ : a) schemat jednoliniowy obwodu, b) rozkład napięcia wzdłuż obwodu w czasie działania wyłącznika, c) wykres czasowy prądów w obwodzie i napięcia dotyku

Fig. 3. Operation of anti-shock residual current circuit breaker in TN network during slow lowering of resistance of a receiver, i.e. when  $\Delta t = t_3 - t_2 > t_{min}$ : a) single line diagram of a circuit, b) longitudinal voltage distribution during circuit breaker operation, c) time diagrams of the current and touch voltage



Rys. 4. Działanie wyłącznika ochronnego różnicowoprądowego w sieci TN przy szybkiej zmianie rezystancji izolacji chronionej instalacji; a) schemat jednoliniowy instalacji, b) wykres rozkładu napięcia wzdłuż obwodu instalacyjnego, c) czasowy wykres prądów w obwodzie instalacyjnym i napięcia dotyku na uszkodzającym się odbiorniku

Fig. 4. Operation of anti-shock residual current circuit breaker in TN network during quick variation of phase insulation resistance in the protected installation: a) single line diagram of a circuit, b) time diagram of the current in the circuit and touch voltage on the getting damaged receiver

to

$$I_{\Delta} = I_{k1}, \quad (8)$$

gdzie:

$I_{k1}$  – prąd jednofazowego zwarcia w chronionej instalacji,

$t_{min}$  – czas od chwili powstania prądu zadziałania w wyłączniku ochronnym różnicowoprądowym do chwili, gdy styki włącznika utracą galwaniczny kontakt.

### 3.2. Działanie wyłącznika ochronnego przy powolnej zmianie rezystancji izolacji chronionej instalacji zasilanej z sieci TN

Rezystancja izolacji  $R_i$  zadziałania wyłącznika zawiera się w granicach

$$R_{i(I_{\Delta n})} \leq R_i < R_{i(0,5I_{\Delta n})}, \quad (9)$$

gdzie:

$R_{i(I_{\Delta n})}$  – rezystancja izolacji, gdy prąd upływu jest równy  $I_{\Delta n}$ ,

$R_{i(0,5I_{\Delta n})}$  – rezystancja izolacji, gdy prąd upływu jest równy  $0,5I_{\Delta n}$ .

Przy powolnej zmianie rezystancji izolacji (rys. 3) prąd upływu będzie wzrastał. Gdy rezystancja  $R_i$  ma wartość w przedziale według zależności (9), wtedy popłynie prąd wyłączający  $I_{\Delta}$  i uszkodzony odbiornik (obwód) zostanie wyłączony. Zatem w obwodzie instalacyjnym występuje tylko prąd roboczy, który przy uszkodzeniu się izolacji zostaje przez wyłącznik ochronny wyłączony.

Napięcia dotyku  $U_{d1}$  na uszkodzonym odbiorniku i  $U_{d2}$  na odbiorniku sprawnym technicznie są pomijalnie małe (rys. 3b i 3c) a można je obliczyć z wyrażeń:

$$U_{d1} = I_{\Delta n} (R_{PE1} + R_{PE2}), \quad (10)$$

$$U_{d2} = I_{\Delta n} R_{PE2} = U_{d1} \frac{R_{PE2}}{R_{PE1} + R_{PE2}}. \quad (11)$$

Efektom powolnej zmiany rezystancji izolacji przy istnieniu w obwodzie wyłącznika ochronnego jest:

- likwidacja jednofazowego prądu zwarcia w obwodach chronionych,
- likwidacja niebezpiecznych napięć dotykowych.

### 3.3. Działanie wyłącznika ochronnego różnicowoprądowego przy szybkiej zmianie rezystancji izolacji chronionej instalacji zasilanej z sieci TN

Przy szybkiej zmianie rezystancji izolacji (rys. 4), czyli gdy  $\Delta t = t_3 - t_2 < t_{min(\text{wyłącznika})}$ , zanim wyłącznik ochronny wyłączy, popłynie prąd zwarcia  $I_{k1}$ , który uruchomi również zabezpieczenie zwarciowe. W tej sytuacji będzie kwestią przypadku, czy wyłączenie prądu zwarcia spowoduje wyłącznik różnicowoprądowy, czy zabezpieczenie zwarciowe. Niemniej



skutki zewnętrzne wyłączenia są takie, jak gdyby nie było wyłącznika ochronnego różnicowoprądowego, bo:

- a) prąd wyłączający  $I_{\Delta}$  jest równy prądowi zwarcia  $I_{k1}$ ,
- b) napięcie dotyku na uszkodzonym odbiorniku jest równe połowie napięcia fazowego,
- c) napięcia dotyku na technicznie sprawnych odbiornikach jest takie samo, jak w punkcie 2, a można je obliczyć z wyrażenia (3).

Efektom szybkiej zmiany rezystancji izolacji chronionej instalacji jest samoczynna likwidacja pozytywnych skutków pracy wyłącznika ochronnego różnicowoprądowego, które przedstawiono w punkcie 3.2.

Przywrócenie właściwej pracy wyłącznika ochronnego jest możliwe po zastosowaniu dodatkowej rezystancji w przewodzie ochronnym.

### 3.4. Działanie wyłącznika ochronnego różnicowoprądowego przy zwiększonej do $300 \Omega$ rezystancji podłużnej przewodu ochronnego

W miejscu zainstalowania wyłącznika ochronnego w chronionej instalacji lub w skrzynce zaciskowej odbiornika, w przewodzie ochronnym stosuje się rezystor  $R_d$  o rezystancji  $R_d = 300 \Omega$  (rys. 5).

Przy szybkiej zmianie rezystancji izolacji chronionej instalacji, czyli gdy  $\Delta t = t_3 - t_2 < t_{\min(\text{wyłącznika})}$ , w obwodzie popłynie prąd ograniczony do wartości  $I_0 \leq 1 \text{ A}$ , który spowoduje zadziałanie każdego wyłącznika ochronnego.

Napięcie dotyku na uszkodzonym odbiorniku (rys. 5c2) będzie równe napięciu fazowemu ( $U_d \leq U_{LE}$ ), ale czas jego występowania będzie krótszy od 0,1 s. Napięcie dotyku na sprawnych technicznie odbiornikach, zasilanych z tej samej linii rozdzielczej, będzie pomijalnie małe, a można je wyliczyć z wyrażenia:

$$U_{d2} \leq I_0 R_{PE2}, \quad (12)$$

gdzie:  $I_0$  – prąd ograniczony do 1 A.

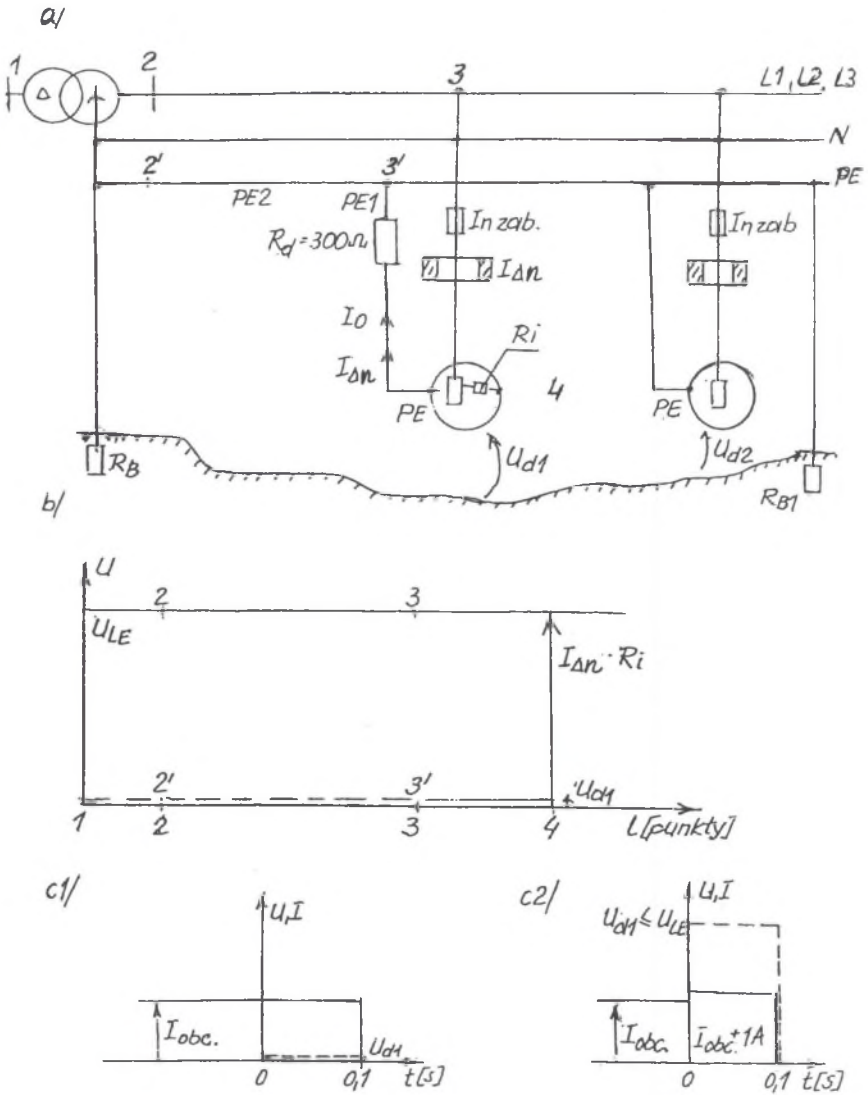
Przy powolnej zmianie rezystancji izolacji instalacji chronionej wyłącznikiem ochronnym, czyli gdy czas obniżania się rezystancji wynika z zależności (5), w obwodzie popłynie prąd różnicowy określony z zależności (6), który spowoduje wyłączenie uszkodzającego się odbiornika.

Napięcie dotyku (rys. 5c1) na uszkodzonym odbiorniku będzie równe

$$U_{d1} = I_{\Delta n} (R_{PE1} + R_{PE2} + 300 \Omega). \quad (13)$$

Napięcie dotyku na pozostałych sprawnych technicznie odbiornikach, zasilanych z tej samej linii rozdzielczej ( $U_{d2}$ ) jest pomijalnie małe, a można je obliczyć z wyrażenia:

$$U_{d2} = I_{\Delta n} R_{PE2} = U_{d1} \frac{R_{PE2}}{R_{PE1} + R_{PE2} + 300 \Omega}. \quad (14)$$



Rys. 5. Działanie wyłącznika ochronnego różnicowoprądowego po wprowadzeniu w obwód przewodu ochronnego rezystora  $R_d$  o rezystancji  $300 \Omega$ : a) schemat jednoliniowy instalacji, b) wykres rozkładu napięcia wzdłuż obwodu instalacyjnego, c) czasowy wykres prądów w obwodzie instalacyjnym i napięcia dotyku na uszkodzającym się odbiorniku

Fig. 5. Operation of anti-shock residual current circuit breaker after insertion of  $300 \Omega$  resistor into protective conductor circuit: a) single line diagram of a circuit, b) longitudinal voltage distribution along the circuit, c) time diagram of the current in the circuit and touch voltage on the getting damaged receiver

#### 4. WNIOSKI

1. Przy powolnym obniżaniu się rezystancji izolacji fazowej wyłącznik ochronny różnicowoprądowy zapewnia całkowite bezpieczeństwo w korzystaniu z energii elektrycznej.
2. Przy szybkich zmianach rezystancji izolacji fazowej skuteczność działania wyłącznika ochronnego różnicowoprądowego można zachować przez wprowadzenie do przewodu ochronnego rezystora  $R_d$  o rezystancji  $300 \Omega$ . Rezystor  $R_d$  można usytuować w miejscu zainstalowania indywidualnego wyłącznika ochronnego lub w skrzynce zaciskowej każdego odbiornika I klasy ochronności dla centralnego wyłącznika ochronnego różnicowoprądowego.

#### LITERATURA

1. Markiewicz H.: Instalacje elektryczne. WNT, Warszawa 1996.
2. Markiewicz H.: Bezpieczeństwo w elektroenergetyce. WNT, Warszawa 1999.
3. Rogoń A.: Ochrona od porażen w instalacjach elektrycznych . Poradnik, wyd. II, COSIW SEP, Warszawa.
4. Wolski K., Gembalski J.: Sposób wykorzystania wyłącznika przeciwporażeniowego różnicowoprądowego do ograniczania jednofazowego prądu zwarcia w instalacjach elektrycznych zasilanych z sieci TN. Zgłoszenie patentu: P326873 - Biuletyn Urzędu Patentowego RP Nr 26/99 z dnia 20 grudnia 1999.
5. Wolski K.: Ocena zerowania jako środka dodatkowej ochrony przeciwporażeniowej w instalacjach elektrycznych niskiego napięcia. ZN Pol. Śląskiej, ser. „Elektryka”, z. 127, Gliwice 1992.

Recenzent: Prof. dr hab. inż. Gerhard Bartodziej

Wpłynęło do Redakcji dnia 2 maja 2000 r.

#### Abstract

An analysis of short circuit protection operation has been pictured on scheme of installation and diagrams of the touch voltage (Fig. 1).

Short circuit protection operates when a phase insulation resistance of the protected receiver (Fig. 2) is equal nought; then a fault current  $I_{k1}$  flows through the single phase short circuit loop bringing about voltage drops shown in Fig. 1b. A single phase fault current  $I_{k1}$  - which can amount hundreds amperes and a dangerous touch voltage reaches a half of the phase voltage - will happen:

- within the period to 5 s in old installations equipped with switch-fuses (Fig. 1c1),
- within the period to 0.5 s in new installations equipped with installation circuit breakers (Fig. 1c2).

Operation of the anti-shock circuit breaker depend on speed of insulation resistance variations of the protected receiver (Fig. 2). A leakage current increases when phase insulation resistance variation is slow (Fig. 3). When resistance  $R_i$  is placed within the interval after dependence (9) then a breaking current flows and the failed receiver (circuit) will be cut off. So in the installation circuit only working current appears which is cut off by the protective circuit breaker when insulation goes worsened. Touch voltage values  $U_{d1}$  on the failed receiver and  $U_{d2}$  on the healthy one are negligible little (Fig. 3b, c) and can be computed with expressions (10) and (11).

When phase insulation resistance variation is quick (Fig. 4) then - before the protective circuit breaker operation - a fault current  $I_{k1}$  flows which also activates short circuit protection. In such a situation it will be a random question whether switch-off is realised by the protective circuit breaker or by short circuit protection. Nevertheless external results of switching off are the same like the anti-shock circuit breaker does not exist.

It is possible to restore a proper operation of the protective circuit breaker when an additional resistor in the protective conductor is applied. In the place where the protective circuit breaker is installed or in the receiver's terminal box a resistor  $R_d$  of 300  $\Omega$  is applied. During quick insulation resistance variations of the protected installation in the circuit flows a current limited to a value  $I_0 \leq 1$  A which causes operation of any protective circuit breaker. A touch voltage value on the failed receiver (Fig. 5c2) will be equal a phase voltage ( $U_d \leq U_{LE}$ ) but the time of its appearance will be shorter than 0.1 s. The touch voltage on the technically efficient receivers supplied from the same distribution line will be negligible little and can be computed from expression (12).

A slow insulation resistance variation, when the protective circuit breaker exists in the circuit, causes:

- clearance of the single phase fault current in protected circuits,
- clearance of dangerous touch voltages.

When quick insulation resistance variations happen a protective circuit breaker's operational efficacy can be saved by insertion of limiting resistor of 300  $\Omega$  into protective conductor circuit.